

京都大学防災研究所 正員 藤田裕一郎 正員 村本嘉雄 京都市 堀池周二

1.序論：水理条件の変化に対応して生じる砂州の変形は河道の安定に重要な影響を与えるが、その予測には砂州の発達・崩壊の機構を明らかにする必要がある。この目的のために著者らは広い範囲の条件で交互砂州の発達過程に関する詳細な実験を行い、その過程と機構の特徴を把握している。それによれば発達過程には図-1に示された3段階 — 1. 波長 l_B の増大が急激である段階、2. l_B の増加は緩慢になるが波高 Z_B が顕著に増大して最初の極大値に到る段階、3. Z_B とも一定値の周辺を緩やかに変動する段階 — がめて、そのうちオ2段階の Z_B の増加は主として側壁付近の土砂(図-2 Eの部分)が流路中央に流送堆積(同Dの部分)されて生じ、その結果横断方向各点の河床高と平均河床高の差の継続方向平均値は図-2の太線のような蒲鉾型形状となる、その高さ Z_B は全波高的約50%に達することが明らかにされている。本文では、以上の知見に基き、波長、波高の発達過程についてさらに模討を加え、発達時間の予測と発達経路の差異について考察した結果を述べる。

2. 実験の概要：実験は4種の流路幅に対し交互砂州の形成条件を満足させて行い、適宜停水して l_B 、 Z_B と水理量を測定した。水理量の経時変化は小さく、表-1にはその平均値およびオ2段階終了時刻(砂州の発達時間) T_e とそのときの波長 l_{Be} 、波高 Z_{Be} が示されている。

3. 砂州の発達過程：波長および波高の発達過程と両者の相違を T_e 、 l_{Be} 、 Z_{Be} で無次元化して示せばそれぞれ図-3および4のようであって、実験条件によらず砂州形状は比較的相似となるが、発達経路には初期条件および水理条件によってこのような差異の生じることがわかる。また、図-3、4では Z_B に対して l_B の増大の早いことが明瞭であり、オ1段階終了時刻 t'_e を最初に $l_B/l_{Be}=0.7$ となる時刻と定めれば、初期敷均しの影響が長く残ったRun D-1を除き $t'_e/T_e \leq 0.3$ である、発達経路の差異は主に t'_e/T_e の値とこのときの Z_B/Z_{Be} の値の差異にあることがわかる。図-4では $l_B/l_{Be} > 0.7$ の Z_B/Z_{Be} の増加量は平均で約0.7である、 l_B が前縁の正射影長として定義されていることを考えれば、 l_B が相当発達した、すなわち長い砂州前縁が確確になった直後に Z_B を増大させるような土砂移動状況が顕著になるとことが推定される。この発達過程のオ2段階は発達時間の大半を占め、かつ波高の発達しない砂州の河川工事的重要性は

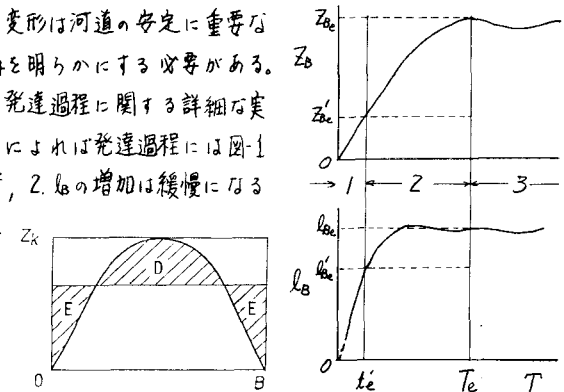


図-2 蒲鉾型横断形状の模式図

図-1 発達過程の模式図

Run No.	T min	Q l/s	B cm	h cm	$I_e \times 10^{-3}$ cm/s	U_* cm/s	d_m mm	T_e min	Z_{Be} cm	\bar{Z}_B cm	\bar{l}_B cm	\bar{Q} l/s
A-1	501	3.00	55	1.65	5.78	2.95	0.99	354	215	4.32	0.0223	
A-2	94	3.00	55	1.37	10.09	3.58	—	—	—	—	—	
B-1	309	1.39	30	1.50	6.59	2.96	—	147	140	1.51	0.021	
B-2	136	1.43	30	1.36	15.08	3.56	—	55	152	2.11	0.0605	
C-1	98	3.00	40	1.77	9.48	3.88	—	44	162	2.45	0.0743	
C-2	162	1.95	40	1.26	9.35	3.28	—	66	205	2.97	0.054	
D-1	366	43.78	200	4.15	3.51	3.63	0.88	270	936	7.35	0.210	
D-2	560	43.78	200	4.32	2.59	3.16	—	560	1003	5.90	0.130	

表-1 実験条件および測定結果

低いと考えられるので、砂州の発達は波高的発達であるとみたしうる。従来の研究によると発達後の l_B の資料は比較的豊富であり、それらの詳しい検討結果を用いれば水理条件から l_{Be} , Z_{Be} はある程度予測できる。したがって、E₂ よりも発達経路の相違が明確になれば砂州の発達過程を予測することができる。

4. 砂州の発達時間： 図-2 の蒲鉾型横断形狀の高さ Z_k が第2段階の Z_B の増大の経時変化を検討した結果の一例を下流端実測流量 Q_B で無次元化して示せば図-5 のようである。右方向流砂量を正としているので E₂ の分布を示す場合に両側壁近傍から流路中央に砂州が流送されていることを表し、符号が反転しない場合は主に片側の砂州のみが変形している。例示した Run C-1 では初期から大量の砂州が流路中央に流送されていて、最初の停水で第2段階に入っていた測定結果と符合する。E₂ の正字分布の最大値と最小値との差 \hat{Q}_{By}/Q_B の時間的变化を示せば図-6 のようであって、実験規模の差にかかわらず平均的には同程度の値を持つことがわかる。

図-2 の蒲鉾型形狀はいずれの実験でも類似した形を呈するので Z_k と B で無次元化すれば同一形狀になると仮定でき、 $Z_k/Z_B = f(Y/B)$ と表せる。したがって発達に伴って移動した面積 A_k (図-2 斜面部) は常に $A_k = \alpha_k B Z_k$ となる。また、これまでのことから Z_k と Z_B に比例関係を考えて $Z_k = \alpha_k Z_B$ 、一方、 A_k の移動を生じる横断方向流砂量強度 \hat{Q}_{By}/Q_B は前述のように平均的には一定であるので $\hat{Q}_{By} = \alpha_B \bar{Q}_B$ とおける。 \hat{Q}_{By}/Q_B 以上から、 $T_e = \alpha_k A_k / \hat{Q}_{By} = \alpha_k B Z_k / \bar{Q}_B$ ($\alpha_k = \alpha_1 \alpha_2 \alpha_3 / \alpha_B$)、あるいは B と l_B との対応は良いので $B = \alpha_k l_B$ とすれば、 $T_e = \alpha k l_B Z_k / \bar{Q}_B$ ($\alpha = \alpha_2 \alpha_3 \alpha_4 / \alpha_B$) となる。図-7 は後者の関係を検討したものであって、 $\alpha = 0.57$ のとき上式の計算値と実測値との対応は非常に良く、これらの式から発達時間が予測できることがわかる。

5. 発達経路に関する考察： ここで述べた発達経路の主な相違点に着目し、簡単に同一の水路で水理条件の差により、 Z_{Be} が大小の現われた場合について考察する。図-6 橫断方向流砂量強度の時間的変化

いま、 $Z_{Be1} > Z_{Be2}$ とし、縦断方向の高低差によって生じると思われる第1段階の波高的発達が流量に比例する割合で起ると仮定すれば、 $t_{e1}' = \alpha l_{Be1} Z_{Be1} / \hat{Q}_{B1}$ と表せるので $t_{e1}' / T_{e1} = (\alpha/l_{Be1}) Z_{Be1} / Z_{Be2}$ ただし、 $j=1, 2$, $\beta_B = l_{Bej} / l_{Be2} = 0.7$ であり、 t_{e1}' / T_{e1} は $T = t_{e1}'$ のときの諸量を表す。さらに、 Z_B が粒径の β_B 倍に達して前線が明確になるとすれば $Z'_{Bej} = \beta_B Z_{Bej} \approx \beta_B l_{Bej} = Z'_{Be2}$ である。 Z_B は、主に B/d , h/d の関数であって、おそらく $\beta_B = 5 \sim 10$ 程度と思われる。以上から、 $(t_{e1}' / T_{e1}) / (t_{e2}' / T_{e2}) = Z_{Be2} / Z_{Be1}$ となり、 $t_{e1}' / T_{e1} < t_{e2}' / T_{e2}$ が導かれる。また、単に $Z_{Be1} / Z_{Be2} < Z_{Be2} / Z_{Be1}$ であるので、顕著に波高的発達する場合の方が相対的に第1段階の終了が早く、そのときの Z_B / Z_{Be1} は小さくなることがわかる。表-2

は以上の考察結果を B , C シリーズの実験によつて検討したものであつて、推論が定性的には妥当であることを示している。この考察は極めて単純なものであるが、 Z_B が適確に予えられれば発達経路についてもその予測が可能となると思われる。

6. あとがき： 以上のように、砂州の発達過程について l_{Be} , Z_{Be} が与えられれば発達時間が予測でき、また水理条件の違いによる発達経路の差異もある程度説明できることが示された。今後は流況と土砂移動との関係から Z_B の予測を試みることとともに、発達初期過程について Z_B の特性を明確にして、その決定機制の考察を進めよう予定である。最後に、実験、資料整理に尽力してくれた大学院学生 小池剛君に謝意を表します。
(参考文献) 1) 村本・藤田・堀池; 第53回西支那年譲概要, 2) 村本・藤田; 第22回水理講演会論文集 1978

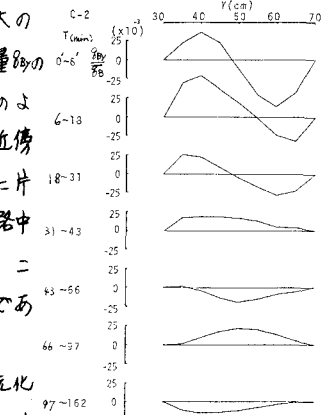


図-5 橫断方向流砂量分布

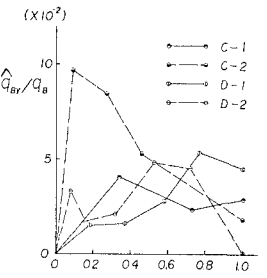


図-6 橫断方向流砂量強度の時間的変化

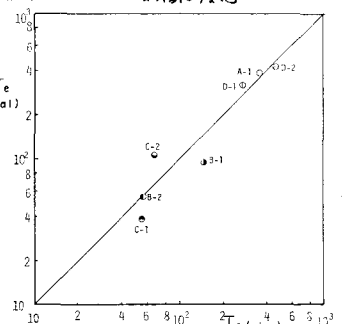


図-7 発達時間に関する検討

Run No.	t_{e1}' min	T_{e1} cm min	Z_{Be1} cm	T_{e2} min	t_{e2}' cm min	Z_{Be2} cm
B-1	46	0.8	147	1.51	0.31	0.53
B-2	8	0.4	55	2.11	0.15	0.19
C-1	8	0.89	44	2.45	0.18	0.36
C-2	6	0.91	66	2.97	0.091	0.31